

文章编号:1671-6833(2013)05-0096-04

多 SP 轮函数对广义 Feistel 结构安全性影响分析

王田丽, 黄 坤

(华北水利水电大学 数学与信息科学学院, 河南 郑州 450046)

摘 要: 广义 Feistel 结构使用多 SP 形式轮函数, 会对安全性带来一定的影响. 首次讨论了多 SP 轮函数在不完全扩散情况下, 安全性发生的一些变化. 并对 Lesamnta-256 的中间置换采用的结构和轮函数进行差分分析. 这是长达三轮的超级匹配技术第一次用于广义 Feistel 结构的算法.

关键词: 多 SP; Lesamnta-256; 截断差分; 反弹攻击; 超级匹配

中图分类号: TP309 **文献标志码:** A **doi:**10.3969/j.issn.1671-6833.2013.05.021

0 引言

广义 Feistel 结构是由郑玉良等人于 1989 年的美洲密码年会上提出的一系列算法结构. Lesamnta^[1] 是进入 NIST 举办的 SHA-3 竞赛第一轮 56 个杂凑函数之一, 它采用了比较流行的 Type-1 广义 Feistel^[2] 结构的变体. 2010 年, Bouillaguet 等人对其给出了一个 20 轮的积分区分器^[3]. 2009 年, Mendel 等人介绍了一种分析杂凑函数的新技术, 称为反弹攻击^[4]. 在 2011 年的 FSE 会议上, Sasaki 等人将这一技术用于 Feistel-SP 结构的算法, 给出了 11 轮已知密钥区分器^[5]. 后来, Sasaki 等人又将复杂度加以改进, 并应用于 Camellia^[6]. 但这种技术对广义 Feistel 结构进行攻击的结果如何, 现在还不明晰. 笔者从多 SP 轮函数的角度出发, 分析这种设计会给安全性带来什么样的影响.

1 基础知识

1.1 Type-1 广义 Feistel 结构和 Lesamnta 简介

Type-1 广义 Feistel 结构的状态有四个字, 而 Lesamnta 的压缩函数利用分组密码和 MMO 结构, 整个 Lesamnta 杂凑函数采用 MD 结构. 对于 Lesamnta-256 杂凑函数, 消息填充之后长度是 256 比特的整数倍, 并被分成 256 比特大小的块 $M_1 \parallel M_2 \parallel \dots \parallel M_N$. 记压缩函数为 $CF: \{0, 1\}^{256} \times \{0, 1\}^{256} \rightarrow \{0, 1\}^{256}$, 它按照下列方式进行迭代:

$$H_i \leftarrow E_{H_{i-1}}(M_i) \oplus M_i, \quad i = 1, 2, \dots, N.$$

初始状态记为 H_0 . 最后的 H_N 即为消息 M 的杂凑值. 中间的分组密码 E_K 为 4 分支的 Type-1 广义 Feistel 结构. 首先, 中间链值 H_{i-1} 进入密钥生成算法, 生成每一轮的 64 比特子密钥 k_j , 其中 $0 \leq j \leq 31$. 状态中 4 个 64 比特的字我们用 W_j, X_j, Y_j, Z_j 来表示, 则 E_K 的输出按照下列方式计算:

$$\begin{aligned} (W_0, X_0, Y_0, Z_0) &\leftarrow M_i, \\ (W_{j+1}, X_{j+1}, Y_{j+1}, Z_{j+1}) &\leftarrow \\ &(F(Y_j \oplus k_{j+1}) \oplus Z_j, W_{j+1}, X_{j+1}, Y_{j+1}), \\ &0 \leq j \leq 31. \end{aligned}$$

轮函数 F 包含 4 个运算: 轮密钥加、字节代换、行移位层、列混淆层. 攻击是在已知密钥状态下, 在这里忽略密钥扩展算法, 细节参考文献 [1].

1.2 反弹攻击

反弹攻击^[4] 是 Mendel 等人提出的一种针对杂凑函数的分析方法. 它从两个状态出发, 选择截断差分, 在中间某 S 盒层构造匹配, 再分别向前向后构造截断差分路径, 故命名为反弹攻击. 此类攻击的方法与传统的差分攻击有所不同, 其关键点之一在于研究 S 盒层的匹配性质.

2 多 SP 轮函数 Type-1 广义 Feistel 结构安全性

利用三轮匹配技术, 对两轮扩散 (AES 类) 的 SP 轮函数的 Type-1 广义 Feistel 结构进行分析.

收稿日期: 2013-05-10; 修订日期: 2013-07-15

基金项目: 国家自然科学基金资助项目 (51190093)

作者简介: 王田丽 (1978-), 女, 山东诸城人, 华北水利水电大学讲师, 硕士, 从事信息安全方面研究, E-mail: wangtianli@ncwu.edu.cn.

情形 1:两轮扩散的双 SP 结构. 如果函数采用双 SP 结构,并且两轮达到全扩散,则可以采用如图 1 的弹入结构进行攻击. 图中 0 表示不活跃的字, F 表示全活跃的字, H 表示经过 P (或者 P^{-1}) 达到全活跃的字. 首先在 #A 处取一个活跃状态,此状态经过一个 P 扩散后全活跃,同样在 #B 处选择一个活跃状态,经过一个 P^{-1} 扩散后全活跃,两个状态进行 3 轮匹配,如图 1 中粗线所示. 而 #A 沿虚线运算经过一个逆 SP 层,然后异或轮子密钥,在第二轮异或常数,在第五轮异或轮子密钥,再进行双 SP 运算,如果设定第二轮的常数等于第一轮与第五轮轮密钥的异或,则可保证在第五轮异或的时候将差分消除,得到一个非活跃字.

弹出部分是概率为 1 的,具体每一轮的差分特征见表 1. 弹出部分一共 11 轮,故攻击一共有 16 轮.

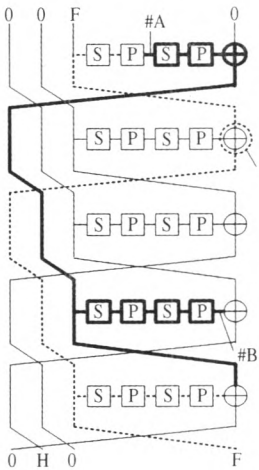


图 1 Type-1 双 SP 结构弹入攻击部分

Fig. 1 Inbound phase for Type-1 double SP constructur

表 1 Type-1 双 SP 结构与三 SP 结构弹出攻击部分

Tab. 1 Outbound phase for Type-1 double SP constructur and three SP structure

Type-1 双 SP 结构弹入攻击部分						Type-1 三 SP 结构弹入攻击部分				
轮次		状态				轮次		状态		
逆向弹出	5	0	F	F	F	5	0	F	F	F
	4	0	0	F	F	4	0	0	F	F
	3	0	0	0	F	3	0	0	0	F
	2	F	0	0	0	2	F	0	0	0
	1	0	F	0	0	1	0	F	0	0
	0	0	0	F	0	0	0	0	F	0
正向弹出	0	0	H	0	F	0	0	P(H)	0	F
	1	F	0	H	0	1	F	0	P(H)	0
	2	F	F	0	H	2	F	F	0	P(H)
	3	H	F	F	0	3	P(H)	F	F	0
	4	F	H	F	F	4	F	P(H)	F	F
	5	F	F	H	F	5	F	F	P(H)	F
	6	F	F	F	H	6	F	F	F	P(H)

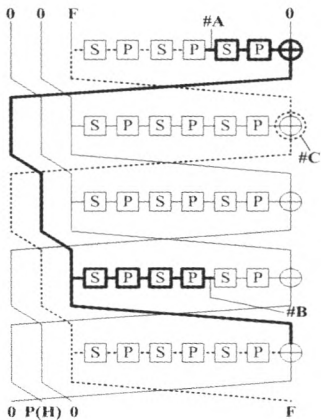


图 2 Type-1 三 SP 结构弹入攻击部分

Fig. 2 Inbound phase for Type-1 three SP constructur

情形 2:2 轮扩散的三 SP 结构. 这种轮函数使用了 3 轮的 SP 结构,这样看起来会使得扩散更加充分,但是总的攻击仍然可以达到 16 轮. 如图 2 所示,其弹出部分见表 1.

其它情形:由上述两种情形可以看到,即使再增加轮数,对攻击弹入部分的影响也只是将弹入五轮之后的第二个字变为 F,这样会将正向弹出部分轮数变为 3 轮,总的攻击轮数变为 13 轮.

3 Lesamnta-256 的截断差分区分器

3.1 弹入部分

步骤 1:(正向起始)选择并固定状态#4 的两个灰色字节的差分,此差分线性地传播至状态#5;

使得状态#5 中有 4 个字节差分不为 0. 由于此状态第 1 行的每一个字节与其右下方的字节进入同一个超级 S 盒, 将这两个字节看做一个整体, 取遍

其 2^{16} 个值, 每个值均可以独立地计算至状态#9, 然后存储在一个表中. 这样, 由状态#5 至状态#9 可以建立 4 个这样的表, 每一个的大小为 2^{16} .

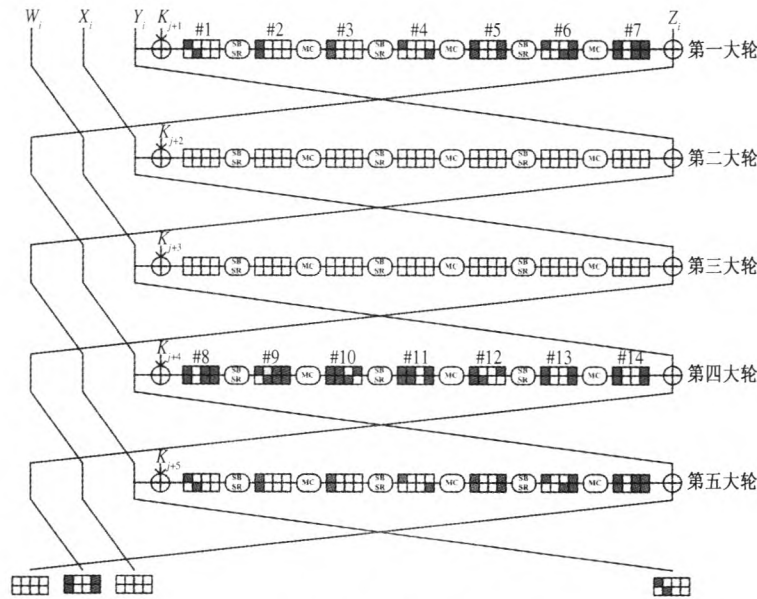


图 3 弹入部分

Fig.3 Inbound phase

步骤 2:(逆向起始)相似地,在状态#12 选择并固定 4 个灰色字节的差分,在状态#11 取遍每一个超级 S 盒的输入的值,在状态#9 建立 4 个大小为 2^{16} 的表. 值得注意的是,在状态#9,由状态#5 开始建立的每一个表都对应第 1 行的一个字节和它左下方的一个字节,由状态#11 开始的每一个表都对应一列的两个字节. 为了区别,我们从左到右记正向的四个表为 l_1, l_2, l_3, l_4 , 逆向的四个表记为 l'_1, l'_2, l'_3, l'_4 .

步骤 3:(匹配轮)状态#9 左下角字节差分为 0, 取定此字节的值. 这样,相当于给集合 l'_1 限定了 2^{16} 个条件,而集合 l'_1 中包含 2^{16} 个元素,我们期望在其中找到一个满足条件. 这样,状态#9 和状态#10 的第一行的两个字节的差分 and 值就都确定了. 而随着状态#9 左上角字节的差分 and 值的确定,相当于给集合 l_1 限定了 2^{16} 个条件,我们同样期望有一个元素满足条件. 而集合 l_1 涉及的另一个字节为#9 右下角的字节,所以这一字节的差分 and 值也确定了. 这样,我们对集合 l'_4 限定了 2^{16} 个条件,我们期望从此集合中得到一个元素满足条件. 按照同样的方法,我们可以确定剩下的字节的差分 and 值. 状态#9 中第 1 行的第 2 个字节是最后确定的元素. 但是,我们发现此字节的差分为零,这样就在最后多出了 2^8 个条件. 开始选择状态中左下角的元素值时,也有 2^8 个选择. 这样,我们便以 2^8

的时间复杂度达到了匹配.

步骤 4:(正向逆向弹出)找到匹配之后,状态#4 逆向传播到状态#1,状态#12 正向传播到状态#14.

步骤 5:(消除轮)我们发现,第 4 大轮输出的最后一个字,和第 5 大轮 F 函数的输出都是由同样的截断差分模式生成的. 而且,状态#1 的差分与第 5 大轮第一个状态的差分相同,值相差一个常数. 记第 2 大轮的 F 函数的输出为 F_{i+2}^{out} , 则相差的常数可以表示为

$$K_{i+1} \oplus F_{i+2}^{out} \oplus K_{i+5}.$$

可以发现, F_{i+2}^{out} 不含差分,是一个完全自由的字. 所以,可以取 $F_{i+2}^{out} = K_{i+1} \oplus K_{i+5}$. 这样,便可以使第 4 大轮输出的最后一个字,和第 5 大轮 F 函数的输出的差分相同,通过异或消除.

通过上述步骤,我们得到了一条包含 5 大轮的差分路径. 此路径的时间复杂度由两部分组成: 建 8 个表的时间复杂度和中间匹配的时间复杂度. 共用 $2^{18.6}$ 次 S 盒的计算的时间,和 2^{18} 个“两字节”的存储.

3.2 弹出部分

事实上,弹出部分可以分为两个部分:正向弹出部分和逆向弹出部分. 共有 19 轮,具体细节见表 2.

表 2 19 轮截断差分路径
Tab.2 19 – round truncated differential path

	轮次	W_i	X_i	Y_i	Z_i		轮次	W_i	X_i	Y_i	Z_i
逆向弹出部分	0	6	8	8	8	正向弹出部分	13	2	0	4	0
	1	2	6	8	8		14	8	2	0	4
	2	0	2	6	8		15	4	8	2	0
	3	0	0	2	6		16	6	4	8	2
	4	0	0	0	2		17	8	6	4	8
	5	2	0	0	0		18	8	8	6	4
	6	0	2	0	0		19	8	8	8	6

3.3 与理想置换进行区分

用 $2^{18.6}$ 次 S 盒的计算的时间, 2^{18} 个“两字节”的存储,构造了一条输入输出均有 2^{224} 种可能差分的差分路径. 我们的攻击为 19 轮, 每轮有 24 次的 S 盒计算, 故时间复杂度为 $2^{18.6}/19 \times 24 = 2^{9.8}$. 而状态含 32 个字节, 故存储为 $2^{18}/32 = 2^{13}$. 而一个理想置换, 如果找到具有同样差分模式的两个输入/输出的话, 需要 $2^{32/2} = 2^{16}$ 的计算复杂度. 所以, 此区分器可以将 19 轮的 Lesamnta 置换与理想函数有效区分.

4 结论

得到了 Type – 1 广义 Feistel-SPSP 结构的 16 轮已知密钥区分器, Type – 1 广义 Feistel-SPSPSP 结构的 16 轮已知密钥区分器. 并证明了即使轮函数使用更多的 SP 迭代, 也可以构造至少 13 轮的已知密钥区分器. 还将这一方法应用与杂凑函数 Lesamnta, 如何通过其构造碰撞或者近似碰撞值得进一步研究.

参考文献:

[1] SHOICHI H, HIDENORI K, HIROTA Y. SHA-3

Proposal: Lesamnta [EB/OL]. [http://ehash.iaik.tugraz. at/uploads/5/5c/Lesamnta. pdf](http://ehash.iaik.tugraz.at/uploads/5/5c/Lesamnta.pdf).

[2] ZHENG Yu-liang, MATSUMOTO T, IMAI H. On the construction of block ciphers provably secure and not relying on any unproved hypotheses [C]//Proceeding of CRYPTO. Santa Barbara, USA, 1989: 461 – 480.

[3] CHARLES B, ORR D, GAËTAN L P. Attacks on hash functions nased on generalized feistel: application to reduced-round lesamnta and SHAvite-3₅₁₂ [C]// Proceeding of Selected Areas in Cryptography. Waterloo, Ontario, Canada, 2010: 18 – 35.

[4] MARIO L, FLORIAN M, CHRISTIAN R, et al. Rebound distinguishers: results on the full whirlpool compression function [C]//Proceeding of ASIACRYPT. Tokyo, Japan. 2009: 126 – 143.

[5] SASAKI Y. Meet-in-the-Middle Preimage Attacks on AES Hashing Modes and an Application to Whirlpool [C]//Proceeding of Fast Software Encryption. Lyngby, Denmark. 2011: 378 – 396.

[6] SASAKI Y, EMAMI S, HONG D, et al. Improved known-key distinguishers on feistel-SP ciphers and application to camellia [C]//Proceeding of Information Security and Privacy. Wollongong, NSW, Australia. 2012: 87 – 100.

Analysis of the Influence for a Generalized Feistel Network
Using the Multi-SP Round Function

WANG Tian-li, HUANG Kun

(College of Mathematics and Information Sciences, North China University of Water Resources and Electric Power, Zhengzhou 450046, China)

Abstract: If a generalized Feistel network cipher adopts the multi-SP round function, the security is always different to the single-SP case. We studied this change where the multi-SP round function has a non-perfect diffusion. We analyzed the structure and the round function of the inner permutation of Lesamnta-256 for their differential properties. This is the first application of the super-match technique to a generalized Feistel algorithm.

Key words: multi-SP, Lesamnta-256, truncated differential, rebound attack, super-match